

## 21cm電波観測による、我々の銀河の渦状構造の決定

京大工 航空 松田卓也

### 1 はじめに

我々の属する銀河系は 漩巻き型であるといわれている。たしかに多くの星々が いわゆる天の川の方向に密集していることからして 我々の銀河系が平板に近い形をしていることがわかる。しかし 我々の銀河系に 現実に渦状腕が存在することを証明するのは 思ったほど簡単ではない。系外の銀河なら 写真を見ただけで一目瞭然であるが 我々の銀河の場合 我々がその内部にいるので かえって事がややこしいのである。

光学的観測で太陽系近傍の星、星団、HII領域の分布が調べられている。それによると これらの天体はベッタリ一様に分布するのではなく 帯状に分布することが知られており それらの帯にペルセウス腕 オリオン腕 サギタリウス腕などの名前がつけられている。しかし これとても 帯を渦状腕と見れば そう見えるといいたところで 渦状腕の大局的構造を明らかにしたことにはならない。光学観測では 太陽を中心とした数Kpc の範囲内しか見とかすことできない。可視光は宇宙塵によつて散乱吸収されてしまうからである。宇宙塵をすくして さらに遠くを見るには 電

波、赤外線、X線などを用いる必要がある。ここでは中性水素ガスの発する、波長21cmの電波を観測することによって銀河内の中性水素の分布図を作り、それから洞状腕の存在を探る話に限定しよう。

## 2 Oortたちによる中性水素の分布図

そのようなプログラムは

OortやKerrたち、オランダオーストラリアのクループによって1950年代以来、勢力的に進められてきた。

彼らの結果を図示したのが図1である。なにやら洞状腕らしきものが見て取れるであろう。

このような図がどのような手順で得られたかを簡単に説明しよう。図2でCは銀河中心 Sは太陽 Aはある中性水素ガスとする。

角CSAは銀径とある。(簡単のため SもAも銀

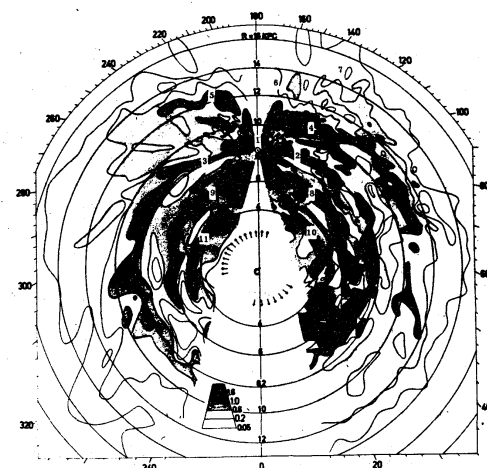


図1 銀河内の中性水素分布  
Kerr + Westerhout<sup>1)</sup>による。

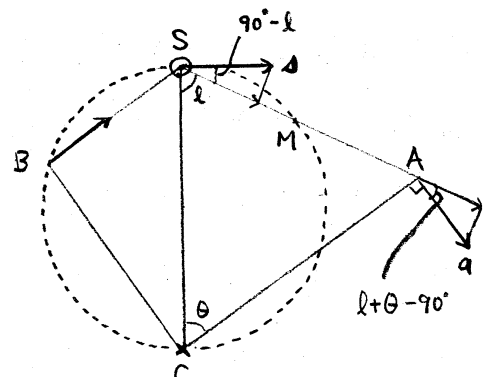


図2 銀河中心C 太陽S 中性水素ガスAの関係

河面内にあるとする。) SもAもCの回りを円運動しているとする。その速度ベクトル  $\alpha$ ,  $\alpha$  は矢印で表わされる。

$\Delta$  と  $\alpha$  の線分  $SA$  に対する写影成分は  $a \cos(90^\circ - l)$ ,  $a \cos(l + \theta - 90^\circ)$  であるから A の S に対する視線速度  $v(l, \theta)$  は

$$v(l, \theta) = a \sin(l + \theta) - a \sin l \quad (1)$$

と書ける。A点の中性水素は波長21cmの電波を放出している。もっともそれは完全な線スペクトルではなくガスの温度や乱流速度に応じた拡がりを持った分布をしているだろう。それを S から見ると、スペクトルの中心波長は21cmではなく  $v(l, \theta)$  だけドップラー偏移をしているだろう。

ここで  $l$  を固定したまま  $\theta$  を  $0 \sim 180^\circ$  かえると  $v(l, \theta)$  は 例えば図3のように変化する。各々の  $(l, \theta)$  点における中性水素の密度が 例えば図4のようになるとすると。すると S で観測される電波はこれらを重ね合わせたものとなり 図5のようになるだろう。

特定の  $l$  だけではなく多くの方向を観測すれば図5のようなデータが多数得られる。それを 1 つにまとめたものが次頁の図6である。図5でピーグがあらわ

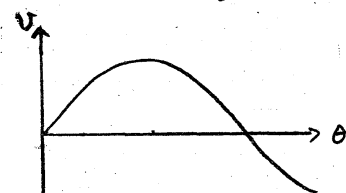


図3  $l$  を固定した場合の  
視線速度  $v_{\parallel}$  と  $\theta$  の関係

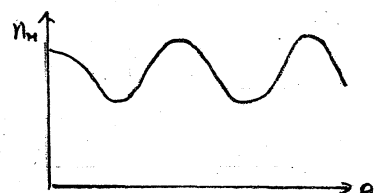


図4  $n_H$  と  $\theta$  の関係

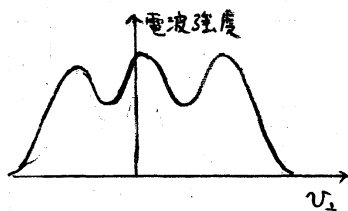


図5 観測されるべき  
電波強度

れる理由は 中性水素の密度分布にピ-7があるからである。  
この密度ピ-7が渦状腕に対応する。

Oortたちがしたことは 今のがたことの逆の操作である。  
つまり観測から我々は 図5のようなデータを多数持つ、  
る。 中性水素が銀河中心回りに円運動していると仮定する  
と(1)式から図3が得られる。 ここで、回転曲線  $\alpha = \alpha(r)$  は  
以下に述べる手法で既知とする。 さて図5のそれを丸のピ-7を 中性水素の高密度部分と対応させる。 それそれ  
のピ-7に対するひが分つ、これらから、図3を用いて その高  
密度部分の位置 つまりひが分る。 このようにして図5か  
ら図3を媒介にして図4を得る。 もっとも実際はそれほど  
簡単ではないが、 まず図3からひを求めると、二つの解が  
得られる。 つまりCからSAに下した垂直の足Mに関して  
ひが対称となる  
からである。

この不定性は適  
当な物理的考察  
を除く。 こう  
して図6を中性  
水素の密度分布

に やきながし

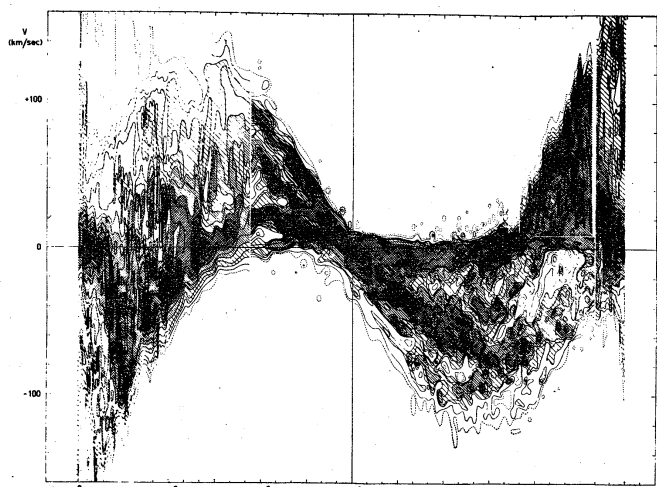


図6 ピ-7 図 (Lindblad<sup>2</sup>)による

たのが図1である。

上の議論では回転曲線は既知とした。これは以下のようにして求められる。図1の点線で示した円つまりSCを直径とする円を考える。この円上的一点Bにある中性水素は（銀河中心のまわりに円運動しているとすれば）SB又はその延長上にある中性水素よりも大きな視線速度を持つ이라는はずである。このことからB点の視線速度を決定でき、従って回転曲線も求まる。実際はSCの右と左を求めた回転曲線が異なるなど複雑な効果もあるが、これは渦状腕の存在による二次的効果である。太陽半径CS( $=10\text{ kpc}$ )より内側の回転曲線はこのようにして求まる。Sより外側の回転曲線はSchmidtモデルのような外殻を用いて理論的に求めるより仕方がない。

### 3 Burtonの反論

以上述べた議論には一つの重大な仮定がある。つまり中性水素は銀河中心回りに円運動しているという仮定である。この仮定は銀河中心付近を除いてはもちろん近似的に正しい。しかし中性水素が円運動からズレてしましてその動径速度が回転速度の数%であるとしてもOortたちの図に大きな影響が及ぶことをBurton<sup>3)</sup>は指摘した。極端な例をあげれば中性水素が完全に一様に分布している

としても、その運動が適当に円運動からズレていれば、図5のピークを作ることができる。  $v$  が図7のようになつてれば良いわけだ。つまり  $n_{\text{H}}$  が一定でも  $v$  にプラトーが存在すれば、その  $v$  の寄与が大きくなり、図5にピークがあらわれる。勿論、 $n_{\text{H}}$  の分布が完全に一様ということはありそうにもない。しかししながら、中性水素が完全に円運動してゐることもありそうにもない。 $10 \text{ km/s}$  ぐらゐの動径速度は、渦状腕のつくる重力ポテンシャルのために発生しても不思議ではない。このような点から言って、Dortたちの図をそのままうのみにするわけにはいかないのである。

#### 4 力学的モデル

それでは円運動を仮定しないで、中性水素の分布図が作れるだろうか。問題のカギは  $v$  を知ることにある。円運動を仮定すれば、回転曲線  $a(r)$  を知るだけで  $v$  を求めることができた。しかし、中性水素が円運動をしないとするとき、らかの仮定なしには  $v$  は求められない。

中性水素が円運動からズレる原因の一つに、前述したように渦状腕をつくる星による重力ポテンシャルがある。この

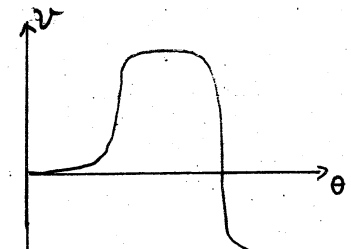
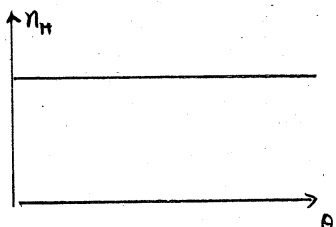
図7 プラートを持った  $v$  分布

図8 一様な密度分布

ポテンシャルは当然 軸対称からズレているからである。そこで渦状腕の重力ポテンシャルを適当に仮定すれば 中性水素の運動は決定でき 従って  $v_{\perp}$  も求めることができることはできる。  $\eta_H$  の分布も同時に計算でき この  $\eta_H$  と  $v_{\perp}$  から理論的 21cm線プロファイルが求まる。これを図5や図6のデータと比較し それらをうまく再現していれば 先に求めた  $\eta_H$  分布が現実のものだと考えるのである。

このような試みが Yuan<sup>4)</sup> によつてまずなされた。彼は Lin-Shu の密度波理論による 星の渦状腕を仮定した。そのパラメータは ピッチ角しが  $7^\circ < \zeta < 11^\circ$ 、 $F$  (= 渦状腕による重力ポテンシアル / 軸対称ポテンシアル) が  $5\% < \zeta < 11\%$ 、パターン角速度  $\Omega_p$  が  $13.5 \text{ km/s/kpc}$  などである。この重力ポテンシアルに反応する中性水素の運動を線型近似で解いた。そして  $l=180^\circ$  の理論 21cm プロファイルを計算。これと観測データを比較することにより、上述のモデルが良いことを示した。

しかし Yuan の計算では ガスの運動を線型近似で解いているが これは問題である。藤本<sup>6)</sup>によつて示され、Roberts<sup>7)</sup> 土佐<sup>8)</sup>たちにより詳しく計算されたように ガスは渦状腕の重力ポテンシアルに非線型的に反応して 衝撃波をつくることが知られている。Roberts<sup>8)</sup>は彼の衝撃波モデルをもとに

$\ell = 90^\circ \sim 200^\circ$  にわたる理論プロファイルを計算、これを観測と比較した。Roberts の採用した密度波のパラメーターも Yuan のものと同様のものである。Roberts はこりようにして Lin-Shu のモデルが観測面でも正しいことを主張している。

### 5. 湍状腕のパターン速度

はたして どうであろうか。彼の採用したパラメーターの範囲は十分であろうか。Nelson と著者は特に湍状腕のパターン速度  $\Omega_p$  に着目した。どうの Lin-Shu 学派は我々の銀河の  $\Omega_p$  の値として  $\sim 13 \text{ km/s/kpc}$  を採用しているけれども もっと大きな値を採用する人々も多いからである。例えば Crézé & Mennessier<sup>9)</sup> は若い星の速度場の観測から  $\Omega_p \sim 20$  Rohlf & Quiroga<sup>10)</sup> は 21cm 線による回転曲線のゆらぎを湍状腕と関連させて  $\Omega_p > 17.6$ 。Burton<sup>11)</sup> や Stecker<sup>12)</sup> は HI と HII の分布のちがいを銀河衝撃波の強弱で説明しようと/or> が その為には やはり  $\Omega_p \sim 20$ 。理論的にも Marochnik, Mishurov & Suckov<sup>13)</sup> は彼らの密度波理論を根柢に  $\Omega_p \sim 23$ 。Lin & Shu と同時期に密度波理論を提唱した Karmajis はさらに大きな値さえ主張している。これらの個々の論拠は かなりすこしも整合していないし どれほど説得力を持つかは問題であるが  $\Omega_p$  の値として  $\sim 13$  以外をとらないと 頭からきめてかかるのも また危険であろう。

そのように考えて Nelson と著者<sup>14)</sup>は Roberts と同様の計算を  $\Omega_p = 13.5$  と 20 の場合にやり直した。衝撃波の解を求める計算方法は両者でかなり異なる。Roberts は解の定常性を頭から仮定して計算した。一方 我々は別の目的もあって 非定常の計算プログラムを作り それで比較的定常に近づいた解を採用した。同様な計算は Woodward<sup>15)</sup>によることなされ ている。諸の本筋からは少々ズレるが、解の非定常的ふるまいつまり振動はなかなか興味深いので少し述べる。

我々は 涡状腕が存在しない状態から ある立ち上がり時間 をへて 涡状腕が出現すると仮定した。すると衝撃波も時間的に成長していくのだが 過渡的な振動が解にあらわれそれがなかなか減衰しにくくなる。立ち上がり時間が 0 の場合には この過渡的振動は  $2 \cdot 10^9$  年たっても消滅しない。立ち上がりを十分に遅くして やつと  $3 \cdot 10^8$  年程度でほぼ定常状態に達することができる。このことは Roberts の仮定した定常解が はたして現実に実現され得るかに疑問をなげかけるのである。

しかしながら ここでは過渡的振動は一応忘れて 定常解を語を進めよう。計算された  $\rho$  分布を図 9 に示す。上は  $\Omega_p = 20$  下は 13.5 の場合である。両者の差は  $r = 10 \text{ kpc}$  より外側で顕著になる。 $\Omega_p = 13.5$  の場合  $\Omega_p = \Omega$  となる co-rotation

半径は 15 kpc の付近となるので

12 kpc 付近でも衝撃波は強い。

一方  $\Omega_p = 20$  の場合 co-rotation

は 11 kpcあたりにあり  $r=10$  &  $r=12$

kpc も衝撃波は（あるとしても）

弱い。さらに顕著なことは

co-rotation の外側と内側では衝撃

波の向きが逆になっていた。

渦状腕とともに回転する系でみて

co-rotation の内側ではガス

が渦状腕の内側から流れこむの

に対し 外側では逆に外側から

流れこむ。観測的に言えば

衝撃波の所は宇宙塵の集積した

dark lane ができ その背後には

圧縮されたガスから生じた HII

領域があるはずである。図 10

にその関係を示す。

$\Omega_p$  のちがいの影響が最も敏

感にあらわれるのは  $r=13$  kpc 付

近にあるペルセウス腕である。

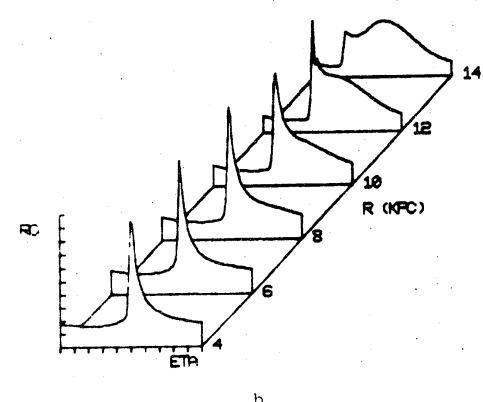
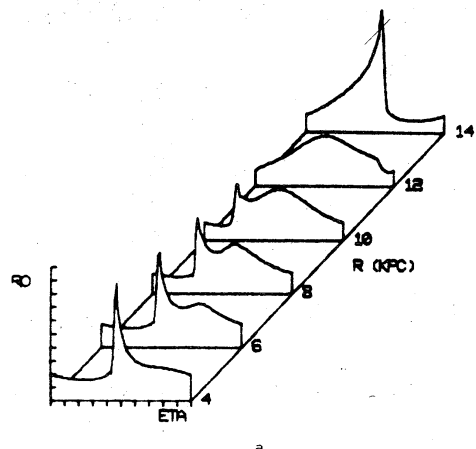


図 9 銀河衝撃波の密度分布

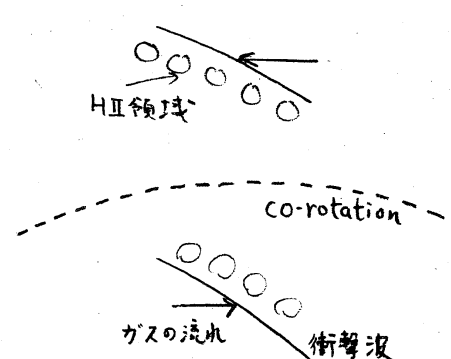
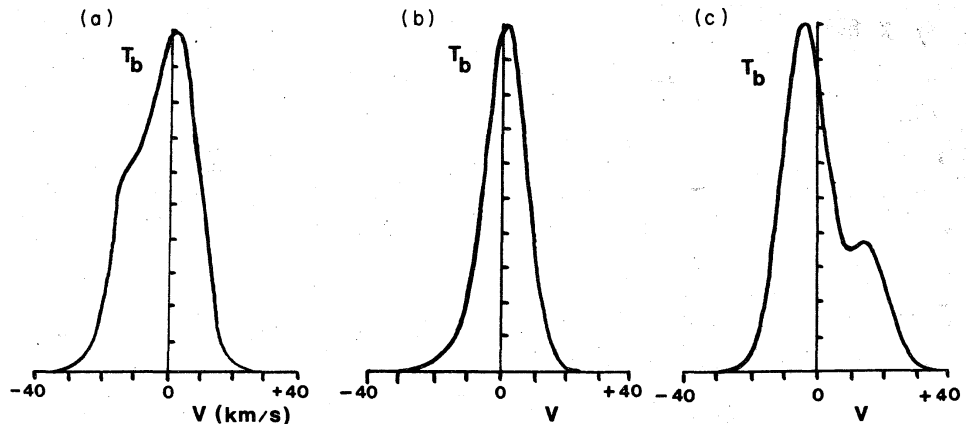


図 10 co-rotation をはさむ内外の  
衝撃波と HII 領域の関係

我々は そこごとに  $\ell=180^\circ$  に限って理論的プロファイルを 2つ以上に対して計算 それと観測と比較した。  $\ell=180^\circ$  に限る理由は そこでは  $r > 10 \text{ kpc}$  の回転曲線の不定性の影響が小さいからである。 結果は  $\Omega_p = 20$  の方が 観測データの色々な特徴を よりうまく説明できそうである。 しかしながら  $\ell=180^\circ$  の方向は 多くの星雲、た位置にある中性水素からの寄与が 同じ速度つまり  $V=0$  に重なりあってしまって 分離が難かしいという欠点を持っている。だからこれだけでは決定的なことは言いつぶく。



(a) Observed 21-cm line profile at longitude  $180^\circ$ . (b) Theoretical line profile for  $\Omega_p = 20$  (km/s)/kpc at longitude  $180^\circ$ . (c) Theoretical line profile for  $\Omega_p = 13.5$  (km/s)/kpc at longitude  $180^\circ$ .

図 11

## 6. 結果と議論

そこで筆者は  $\ell=90^\circ \sim 270^\circ$  の範囲にわたって 理論 21cm プロファイルを計算し 図 6 に対応する理論図を求めた。理論図を図 6 と比較する場合  $\ell=180^\circ$  付近の様子よりも  $\ell$  以外の  $\ell$  における図の全体的な形が重要になる。図 6 の特徴は

次のようにまとめられる。 $90 < l < 180^\circ$  では 大さっぱりに言って 2つのピークがあり、その一方は  $v \sim 0$  附近にある。これはオリオン腕に対応するようだ。 $180 < l < 270^\circ$  では 3つのピークが読みとれる。これらSの特徴をどのようにパラメーターの組が最もよく再現できるかを調べるわけだ。

ここで重要なパラメーターとして 前述したものその他に ペルセウス腕の位相角がある。ここでは ペルセウス腕が  $r=10\text{ kpc}$  の円と交差する点と銀河中心を結ぶ線が  $x$  軸となす角  $\vartheta$  をそれを指定した。図12 参照。パラメーターの値として  $F=3\%$ ,  $l=8^\circ \sim 12^\circ$ ,  $\Omega_p=13.5, 20$ ,  $\varphi=0^\circ \sim 180^\circ$  をとった。

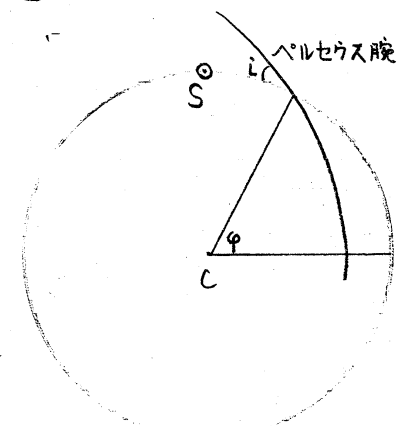


図 12

ペルセウス腕の位相角

これらの計算で得られた結論は、実はあまり明解ではない。というのは 理論モデルと観測の比較が それほど簡単でなく、かなり主観によるからである。 $l < 180^\circ$  の 2つのピークはかなりでききる。しかしこれは 2本の渦状腕を仮定したことの反映にすぎない。 $v \sim 0$  附近のピーク、いわゆるオリオン腕を得るには  $\vartheta \sim 90^\circ$  が都合よいけれど、必須というわけでもない。他方  $l > 180^\circ$  の 3つのピークを作るのはそれほど簡単でない。3本の中性水素の渦状腕が必要だから

ごある。2本の星の渦状腕から3~4本の中性水素渦状腕を得る工夫がある。それは co-rotation付近におけるガスの高次共鳴振動を利用するのである。図9の上図の  $r=10\text{ kpc}$  の  $N_{\text{H}}$  のカーブから分るように co-rotation付近ではガスの密度分布は2つのピーグを持つ。Fがある一定値より大きければ2つの衝撃波(1本の星の渦状腕に対して)があるわれど(Shu, Milleone & Roberts<sup>16)</sup>)。だから  $\Omega_p$  が  $13.5$  より大きい場合には co-rotationが  $r=10\text{ kpc}$  に比較的近く太陽近傍に4本の渦状腕が出現する。これらは co-rotationをはさむ狭い領域でのみ見られる(も、とてco-rotationのごく近傍はそもそも衝撃波は存在しないが)。2本の渦状腕は co-rotationに近づくと4本に枝分けし、やがて消滅。co-rotationをすぎて再び4本の腕が出現し、やがてそれはまた2本にもなるという複雑な構造も期待できる。

現在までの結果ではこれがドンピシャというモデルには出会っていない。と言ふより 合っていふと言えは合っていふ 合わないと言えば合はないといった状態である。何らかの予断を持て眺めれば そのように見えるというところである。図13にいくつかの計算例を示す。

DATA - 3.5 I: R.A. APP. - 03 PHASE - 90 CS. 8.0  
REPORTER VARIABLE: MODE - 165762E+02 MIN. 0.  
CONTOUR INTERVAL - 165762E+01

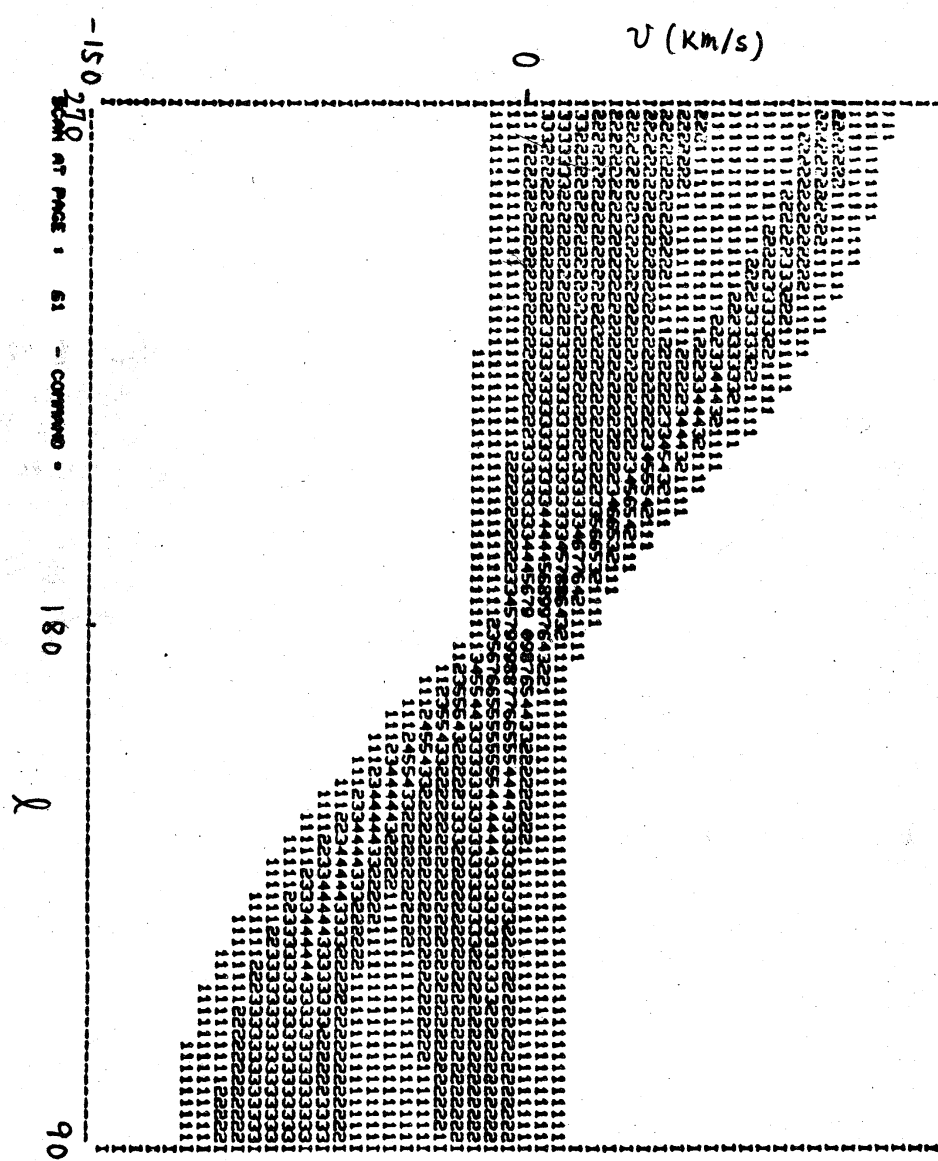


図 13a 計算された  $V-l$  図。数字は強度に比例。

$$\text{パラメタ} - \Omega_p = 13.5, l = 8^\circ, F = 3\%, \varphi = 90^\circ$$

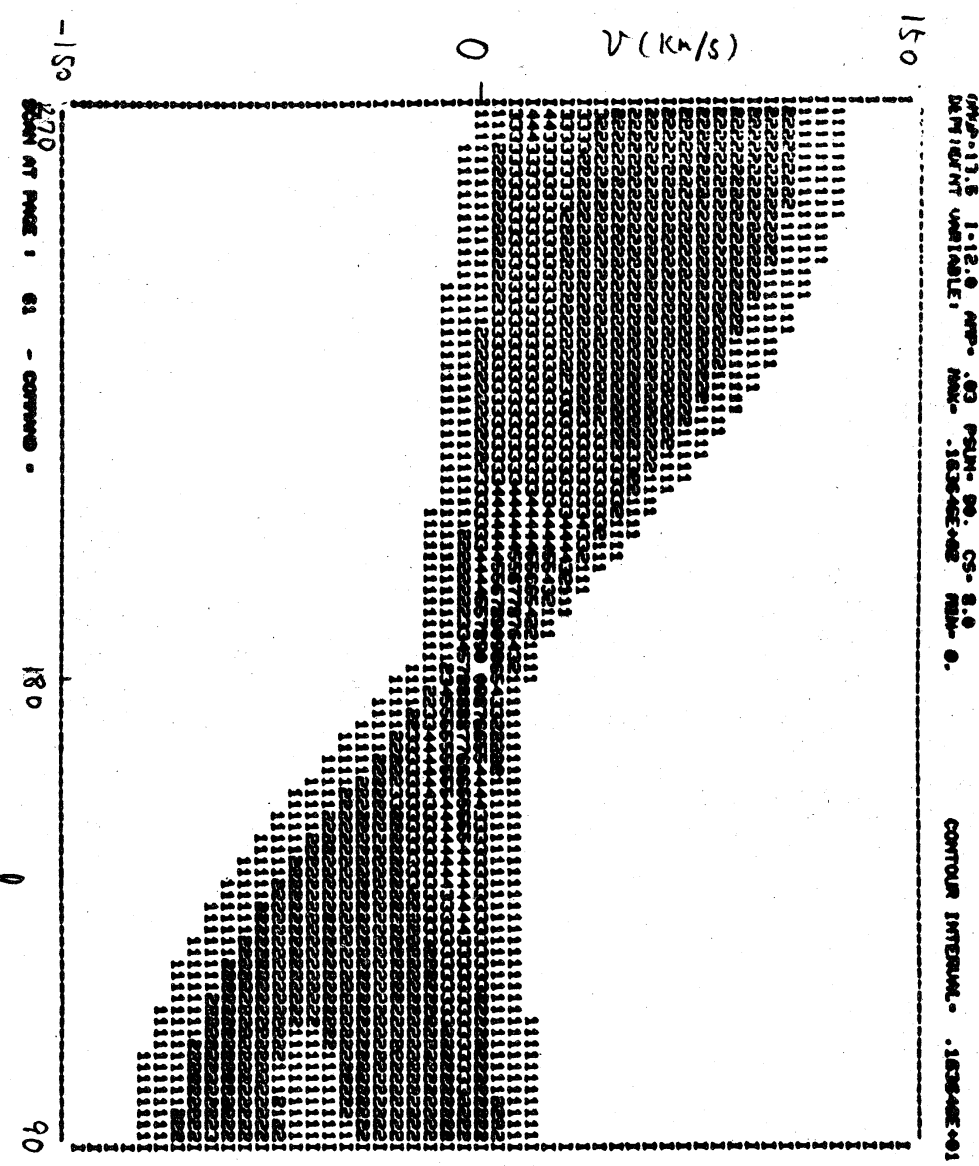


FIG 13b  $a = \pi/6$

$10^3 \times 9 - : \Omega_r = 13.5, L = 12^\circ, F = 3\%, \varphi = 90^\circ$

## References

- 1 F.J. Kerr & G. Westerhout : 1965, in A. Blaauw & M. Schmidt (eds.), 'Galactic Structure'.
- 2 P.O. Lindblad : 1967, IAU Symp. 31, 143.
- 3 W.B. Burton : 1973, IAU Symp. 60, 551.
- 4 C. Yuan : 1969, *Astrophys. J.*, 158, 871; *ibid* 889.
- 5 M. Fujimoto : 1966, IAU Symp. 29.
- 6 W.W. Roberts : 1969, *Astrophys. J.*, 158, 123.
- 7 M. Tosa : 1973, *Publ. astr. Soc. Japan*, 25, 191.
- 8 W.W. Roberts : 1972, *Astrophys. J.*, 173, 259.
- 9 M. Crézé & M.O. Mennessier : 1973, *Astr. Astrophys.*, 27, 281.
- 10 K. Rohlfs & R.J. Guiroga : 1977 Preprint.
- 11 W.B. Burton : 1976, *A. Rev. Astr. Astrophys.*, 14, 275.
- 12 F.W. Stecker : 1976, *Nature*, 260, 412.
- 13 L.S. Marochnik, Yu N. Mishra & A.A. Suchkov : 1972, *Astrophys. & Space Sci.*, 19, 1456.
- 14 A.H. Nelson & T. Matsuda : 1977, *Mon. Not. R. astr. Soc.*, 179, 663.
- 15 P.R. Woodward : 1975, *Astrophys. J.*, 195, 61.
- 16 F.H. Shu, V. Million & W.W. Roberts : 1973, *Astrophys. J.*, 183, 819.